

Л и т е р а т у р а

1. Гухман А.А. Введение в теорию подобия. - М.: Высшая школа, 1973. - 295 с.

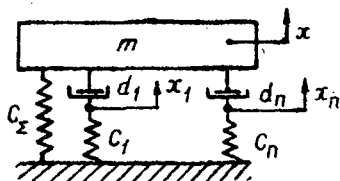
2. Лазуткин Г.В., Трубин В.Н., Тройников А.А. О подобии диссипативных систем по упругофрикционным характеристикам. - Науч.тр./Куйбыш. авиац. ин-т, 1975, вып. I(69). Вибрационная прочность и надежность двигателей и систем летательных аппаратов, с. 50-52.

УДК 621.822.5

Д.Е.Чегодаев

ОПТИМАЛЬНОЕ СООТНОШЕНИЕ ЭЛЕМЕНТОВ УПРУГОДЕМПФЕРНОЙ СВЯЗИ РЕЛАКСАЦИОННОЙ ПОДВЕСКИ

Многие задачи динамики объектов на вязкоупругом основании или пневмогидравлических опорах сводятся к модели релаксационного демпфирования (рис.1). Уравнение движения массы m в этом случае



$$m\ddot{x} + \sum_{i=1}^n R_i + C_{\Sigma} x = 0, \quad (1)$$

где R_i - реакция i -й связи;
 C_{Σ} - суммарная статическая жесткость связи.

Р и с. 1. Упругодемпферная связь релаксационной подвески

Выразив значение R_i через параметры демпфирования d_i и жесткости C_i в соответствующей связи, получим его изображение по Лапласу:

$$R_i = \frac{C_i d_i s}{C_i + d_i s} \tilde{x}, \quad (2)$$

где $s = \frac{d}{dt}$ - оператор Лапласа;
 C_i, d_i - коэффициенты жесткости и демпфирования i -й связи.

Таким образом, уравнение (1) с учетом (2) можно представить в следующем виде:

$$ms^2 + C_{\Sigma} + \sum_{i=1}^n \frac{C_i d_i s}{C_i + d_i s} = 0. \quad (3)$$

Рассматривая только реакцию связи в уравнении (3), можно получить для гармонического возмущения системы ($s = j\omega$)

$$C_{\text{дин}} = C_{\Sigma} + j\omega \sum_{i=1}^n \frac{C_i d_i}{C_i + j\omega d_i}$$

Если обозначить

то
$$p_o = \frac{C_{\Sigma}}{m}; \bar{p}_{oi} = \frac{p_{oi}}{p_o} = \frac{C_i}{m p_o}; \delta_i = \frac{n_i}{p_o} = \frac{d_i}{2m p_o}; \bar{\omega} = \frac{\omega}{p_o},$$

$$C_{\text{дин}} = C_{\Sigma} \left(1 + j\bar{\omega} \sum_{i=1}^n \frac{2\delta_i}{1 + \frac{j\bar{\omega} 2\delta_i}{\bar{p}_{oi}^2}} \right). \quad (4)$$

безразмерном виде (4) примет вид

$$\bar{C}_{\text{дин}} = \frac{C_{\text{дин}}}{C_{\Sigma}} = 1 + j\bar{\omega} \sum_{i=1}^n \frac{2\delta_i}{1 + \frac{j\bar{\omega} 2\delta_i}{\bar{p}_{oi}^2}} \quad (5)$$

действительная и мнимая части уравнения (5) характеризуют соответственно упругие и диссипативные свойства связи:

$$\text{Re}(\bar{C}_{\text{дин}}) = 1 + \bar{\omega}^2 \sum_{i=1}^n \frac{4\delta_i^2 \bar{p}_{oi}^2}{\bar{p}_{oi}^4 + 4\delta_i^2 \bar{\omega}^2}; \quad (6)$$

$$\text{Im}(\bar{C}_{\text{дин}}) = \bar{\omega} \sum_{i=1}^n \frac{2\delta_i \bar{p}_{oi}^4}{\bar{p}_{oi}^4 + 4\delta_i^2 \bar{\omega}^2}. \quad (7)$$

Безразмерную динамическую реакцию (5) представим полиномом

$$\bar{C}_{\text{дин}} = \frac{T_{1n}^n s^n + \dots + T_{1i}^i s^i + \dots + T_{11} s + 1}{T_{2n}^n s^n + \dots + T_{2i}^i s^i + \dots + T_{21} s + 1}, \quad (8)$$

в котором безразмерные постоянные времени выражаются через динамические параметры связи. Например, для $n=1$

$$\bar{T}_1 = p_o T_1 = (1 + \bar{p}_{o1}^2) \frac{2\delta_1}{\bar{p}_{o1}^2}; \quad \bar{T}_2 = p_o T_2 = \frac{2\delta_1}{\bar{p}_{o1}^2},$$

откуда можно найти

$$\bar{p}_{01}^2 = \frac{\bar{T}_1}{\bar{T}_2} - 1; \quad 2\delta_1 = \bar{T}_1 - \bar{T}_2, \quad ,$$

для $n = 2$

$$\bar{T}_{12}^2 = p_0^2 T_{12}^2 = \frac{4\delta_1\delta_2}{\bar{p}_{01}^2\bar{p}_{02}^2} (1 + \bar{p}_{01}^2 + \bar{p}_{02}^2); \quad \bar{T}_{22}^2 = p_0^2 T_{22}^2 = \frac{4\delta_1\delta_2}{\bar{p}_{01}^2\bar{p}_{02}^2};$$

$$\bar{T}_{11} = p_0 T_{11} = \frac{2\delta_1}{\bar{p}_{01}^2} (1 + \bar{p}_{01}^2) + \frac{2\delta_2}{\bar{p}_{02}^2} (1 + \bar{p}_{02}^2); \quad \bar{T}_{21} = p_0 T_{21} = \frac{2\delta_1}{\bar{p}_{01}^2} + \frac{2\delta_2}{\bar{p}_{02}^2}.$$

Размерные постоянные времени

для $n = 1$

$$T_1 = \frac{d_1}{C_1} \left(1 + \frac{C_1}{C_\Sigma}\right); \quad T_2 = \frac{d_1}{C_1}, \quad ,$$

для $n = 2$

$$T_{12}^2 = \frac{d_1 d_2}{C_1 C_2} \left(1 + \frac{C_2 + C_1}{C_\Sigma}\right); \quad T_{22}^2 = \frac{d_1 d_2}{C_1 C_2};$$

$$T_{11} = d_1 \left(\frac{1}{C_1} + \frac{1}{C_\Sigma}\right) + d_2 \left(\frac{1}{C_2} + \frac{1}{C_\Sigma}\right); \quad T_{21} = \frac{C_1 d_2 + C_2 d_1}{C_1 C_2}.$$

Используя обозначение $N_i = \frac{C_i}{C_\Sigma}$, принятое в работе [1], получим для $n = 1$

$$T_1 = \frac{d_1}{C_1} (1 + N_1); \quad T_2 = \frac{d_1}{C_1}, \quad \text{откуда} \quad N_1 = \frac{T_1}{T_2} - 1, \quad ,$$

для $n = 2$

$$T_{12}^2 = \frac{d_1 d_2}{C_1 C_2} (1 + N_1 + N_2); \quad T_{22}^2 = \frac{d_1 d_2}{C_1 C_2};$$

$$T_{11} = \frac{d_1}{C_1} (1 + N_1) + \frac{d_2}{C_2} (1 + N_2); \quad T_{21} = \frac{d_1}{C_1} + \frac{d_2}{C_2}.$$

Предельные значения жесткостной характеристики (6) составляют при $\omega=0$ $\bar{C}_y=1$, а при $\omega \rightarrow \infty$ $C_y=1+\sum_{i=1}^n \bar{p}_{0i}^2$. Максимальное демпфирование (7) в связи реализуется при $\frac{dJ_m(\bar{C}_{дин})}{d\omega} = 0$,

то есть для $n=1$ на частоте $\bar{\omega}_{опт} = \frac{2\delta_1}{\bar{p}_{01}^2}$, определяемой соотношением жесткости и демпфирования в релаксационной связи.

Исследования массы m на подвеске с реакцией $\bar{C}_{дин}$ исследования в работе [2]. В ней для $T_2/T_1 = \text{const}$ получены значения оптимальных коэффициента усиления на резонансе $R_{опт} = \frac{1+T_2/T_1}{1-T_2/T_1}$ и частоты.

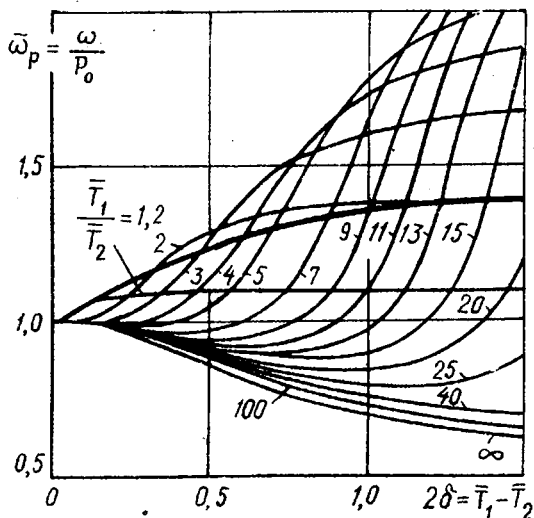
$$\bar{\omega}_{опт} = \sqrt{\frac{2}{1+T_2/T_1}}, \quad \text{или в параметрах связи:}$$

$$R_{опт} = 1 + \frac{2}{\bar{p}_{01}^2};$$

$$\bar{\omega}_{опт} = \sqrt{\frac{1+\bar{p}_{01}^2}{1+\frac{\bar{p}_{01}^2}{2}}},$$

то есть значения этих параметров зависят только от величин массы и жесткости в релаксационной связи.

Установленные зависимости между параметрами в структуре упруго-демпферной связи и ее постоянными времени позволяют более глубоко проникнуть в физическую суть явлений динамического состояния системы, использовать методы механических и электрических аналогий для анализа и синтеза пневмогидравлических элементов машин и, в частности, применить результаты, изложенные в работе [1], для проектирования пневмогидростатических виброзащитных систем. Основная идея расчета таких систем, представленная в [2], сводится к отысканию параметров виброзащитного устройства, имеющего минимальный коэффициент усиления на заданной частоте при $n=1$. С этой целью можно воспользоваться диаграммой на рис. 2. Зависимости резонансной частоты $\bar{\omega}_p$ от коэффициента демпфирования в связи $2\delta = T_1 - T_2$ при малых значениях δ несколько уменьшаются, что объясняется влиянием демпфирования на собственную частоту. Это влияние тем сильнее, чем больше значение T_1/T_2 , то есть чем ближе модель системы к упруговязкой модели Кельвина (параллельное соединение жесткости и демпфирования). На определенной частоте характеристики резко возрастают, что обусловлено действием релаксационной пружины. Пересечение зависимостей с выделенной линией определяет положение "фиксированной точки", в которой выполняется условие минимума резонансной характеристики. Это положение соответствует максимальной демпфированию в системе. на участке вблизи точки



Р и с. 2. Зависимость резонансной частоты от коэффициента демпфирования

Постоянные соответствуют точкам пересечения зависимостей для $T_1/T_2 = \text{const}$ с выделенной на рис. 2 кривой.

пересечения зависимости имеют наибольшую крутизну, что означает повышенную чувствительность значений резонансной частоты к изменениям коэффициента демпфирования в системе, определенного разностью постоянных времени $T_1 - T_2$.

Таким образом, проектирование виброзащитной системы с оптимальными свойствами состоит в выборе постоянных T_1 и T_2 по заданной резонансной частоте с минимальным коэффициентом усиления на резонансе. Эти постоянные соответствуют

Л и т е р а т у р а

1. Ruzicka J.E., DERBY T.F. INFLUENCE OF DAMPING IN VIBRATION ISOLATION. - BARRY CONTROLS DIVISION OF BARRY WRIGHT CORP., 1971, p. 268 .

2. Чегодаев Д.Б., Белоусов А.И. Гидростатические опоры как гасители колебаний. - В сб.: Проектирование и доводка авиационных газотурбинных двигателей. Куйбышев: КуАИ, 1974, вып. 67, с. 197-205.